

ЗАМЕЧАНИЕ О НАСЛЕДСТВЕННОЙ ТЕОРИИ ПОЛЗУЧЕСТИ МЕТАЛЛОВ

И. И. Бугаков

(Ленинград)

Наследственные теории ползучести в современной их форме строятся в значительной мере на базе формальных соображений. Именно, в их основе лежит принцип наложения, по которому влияние напряжений и температуры, действовавших в момент ξ , не нарушается напряжениями, приложенными в другие моменты времени, и изменениями температуры в другие моменты времени. Ниже показывается, что применение теории наследственности к металлам, тем не менее, приводит в ряде практически важных случаев к удовлетворительным результатам.

Начиная с Вольтерра, предлагались различные обобщения наследственной теории Больцмана — Вольтерра для учета нелинейной зависимости деформации ползучести от напряжения [1]. Исходное уравнение нелинейной теории наследственности запишем в виде

$$\begin{aligned} \varepsilon_{ij}(t) &= e_{ij}(t) + p_{ij}(t), \\ p_{ij}(t) &= \int_0^t Q_{ij}[t - \xi, \sigma_{\alpha\beta}, (\xi) T(\xi)] d\xi \end{aligned} \quad (1)$$

Здесь e_{ij} — упругая деформация, связанная с напряжением законом Гука, дополненным температурными членами, p_{ij} — деформация ползучести, T — температура.

Будем считать, что форма Q_{ij} в (1) такова, что при неизменных напряжении и температуре теоретические кривые совпадают с экспериментальными.

Пусть неизменные при $t < t_1$ величины $\sigma_{ij} = \sigma_{ij}^{(1)}$ и $T = T_1$ приняли в момент $t = t_1$ значения $\sigma_{ij} = \sigma_{ij}^{(2)}$ и $T = T_2$. Из (1) вытекает

$$\begin{aligned} \varepsilon_{ij}(t) &= e_{ij}(t) + \int_0^t Q_{ij}(t - \xi, \sigma_{\alpha\beta}^{(1)}, T_1) d\xi \quad (t \leq t_1) \\ \varepsilon_{ij}(t) &= e_{ij}(t) + \int_0^{t_1} Q_{ij}(t - \xi, \sigma_{\alpha\beta}^{(1)}, T_1) d\xi + \int_{t_1}^t Q_{ij}(t - \xi, \sigma_{\alpha\beta}^{(2)}, T_2) d\xi \quad (t > t_1) \end{aligned}$$

Прибавим к правой части последнего выражения и вычтем из него

$$\int_{t_1}^t Q_{ij}(t - \xi, \sigma_{\alpha\beta}^{(1)}, T_1) d\xi$$

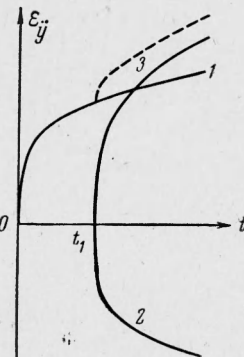
тогда получим

$$\begin{aligned} \varepsilon_{ij}(t) &= e_{ij}(t) + \int_0^{t_1} Q_{ij}(t - \xi, \sigma_{\alpha\beta}^{(1)}, T_1) d\xi - \int_{t_1}^t Q_{ij}(t - \xi, \sigma_{\alpha\beta}^{(1)}, T_1) d\xi + \\ &+ \int_{t_1}^t Q_{ij}(t - \xi, \sigma_{\alpha\beta}^{(2)}, T_2) d\xi \quad (t > t_1) \end{aligned}$$

Следовательно, для получения теоретических кривых суммарного процесса при $t > t_1$ (штриховая линия на фиг. 1) нужно сложить на каждой из шести плоскостей ε_{ij} , t , ординаты кривых, показанных на фиг. 1 сплошными линиями

$$1 - (\sigma_{\alpha\beta} = \sigma_{\alpha\beta}^{(1)}, T = T_1), \quad 2 - (\sigma_{\alpha\beta} = \sigma_{\alpha\beta}^{(1)}, T = T_1), \quad 3 - (\sigma_{\alpha\beta} = \sigma_{\alpha\beta}^{(2)}, T = T_2)$$

Такие же построения возможны и при многократно изменяющихся ступенями напряжении и температуре, если имеются кривые ползучести при неизменных σ_{ij} и T , равных действующим на каждом этапе ступенчатого процесса. Аналогично строятся теоретические кривые в координатах p_{ij} , t . Если в e_{ij} , кроме упругой деформации, входит атермическая пластическая деформация, построения следует вести именно в координатах p_{ij} , t .



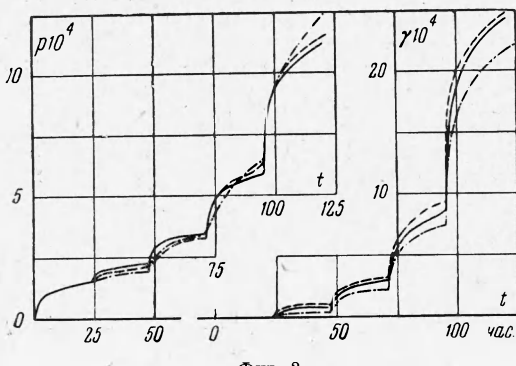
Фиг. 1

Рассмотренный графический прием, обобщает прием, предложенный Ледерманом^[2] для построения теоретической кривой одномерного процесса, в котором напряжение периодически прикладывалось к образцу и затем снималось.

Сопоставление теории наследственности с данными опытов^[3-6] над красной медью, углеродистой сталью и дуралюминием при простом растяжении в условиях ступенчато изменяющихся напряжения или температуры обнаружило, что в случае убывающих напряжений или температуры теория показывает значительно большее восстановление, чем наблюдаемое в опытах. В случае возрастающих напряжения или температуры применение теории наследственности приводит к таким же удовлетворительным результатам, что и применение теории^[7]. К худшим результатам приводят при возрастающем напряжении применение теории упрочнения Надаи-Девиса.

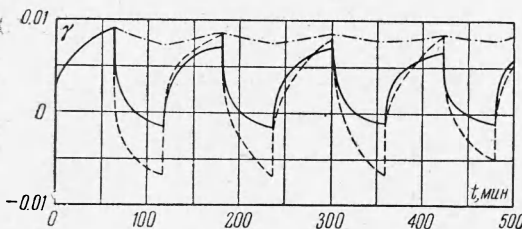
Хорошо согласуется теория наследственности с опытами Джонсона с сотрудниками^[8] над тонкостенными трубчатыми образцами из углеродистой стали, алюминиевого и магниевого сплавов. Образцы нагружались при неизменной температуре постоянной осевой растягивающей силой и ступенчато

восстановление, чем наблюдаемое в опытах. В случае возрастающих напряжения или температуры применение теории наследственности приводит к таким же удовлетворительным результатам, что и применение теории^[7]. К худшим результатам приводят при возрастающем напряжении применение теории упрочнения Надаи-Девиса.

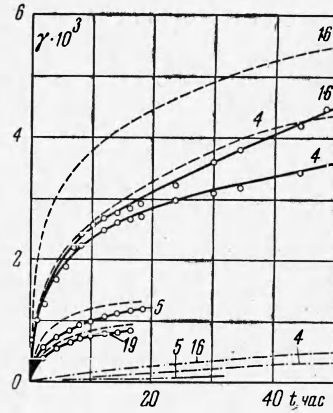


Фиг. 2

возрастающим крутящим моментом. В качестве примера на фиг. 2 в координатах p , t и γ , t (p — осевая деформация ползучести, γ — деформация ползучести сдвига) сплошными линиями показаны экспериментальные кривые ползучести магниевого сплава при 20°C , штриховыми линиями — кривые по теории наследственности, штрих-пунктирными — по теории^[7]. Осевое напряжение было равно $472 \text{ кг}/\text{cm}^2$, касательное возрастило через каждые 24 часа скачком на $94,5 \text{ кг}/\text{cm}^2$. То обстоятельство, что теория наследственности лучше согласуется с упомянутыми результатами, чем теория^[7], можно объяснить тем, что теория наследственности качественно



Фиг. 3



Фиг. 4

правильно учитывает развивающуюся в результате сложного нагружения деформационную анизотропию, которую теория^[7] не учитывает.

Существенная деформационная анизотропия развивается при изменении знака напряжения. Так, в случае чередования прямого и обратного кручения тонкостенных трубчатых образцов направления главных напряжений мгновенно изменяются на 90° . В таких опытах после изменения знака касательного напряжения τ вместо ожидаемого упрочнения наблюдается разупрочнение^[9]. Этот эффект теории наследственности также учитывается. Результаты опытов^[9, 10] над углеродистой сталью и дуралюминием (сплошные линии) и кривые по теории наследственности (штриховые линии) показаны соответственно на фиг. 3, 4. Через γ обозначена деформация ползучести сдвига. Углеродистая сталь испытывалась при 500°C и $\tau = \pm 12.8 \text{ кг}/\text{мм}^2$. Образцы 19, 5, 4, 16 из дуралюмина Д16Т испытывались при 150°C и соответственно $\tau = 10.1, 11.56, 14.00, 14.74 \text{ кг}/\text{мм}^2$; момент изменения знака напряжения принят за начало отсчета времени, накопленная к этому моменту деформация принята за новое начало отсчета деформации. Деформация, накопившаяся к моменту первого измерения, не учитывается. Существенно хуже теории наследственности описывает результаты рассмотренных опытов теория^[7] (штрихпунктирные линии).

Из обсуждавшихся опытов можно сделать следующие выводы относительно теории наследственности и теории [7]. В случае простого нагружения при возрастающих напряжении или температуре применение теории наследственности и теории [7] приводит к практически одинаковым удовлетворительным результатам, при убывающих напряжении или температуре — к лучшим результатам приводят применение теории [7]. В случае сложного нагружения при неубывающих по величине напряжениях к лучшим результатам приводят применение теории наследственности.

Поступила 5 V 1964

ЛИТЕРАТУРА

1. Н а м е с т н и к о в В. С., Р а б о т н о в Ю. Н. О наследственных теориях ползучести. ПМТФ, 1961, № 4.
2. L e a d e r g a n H. Elastic and creep properties of filamentous materials and other high polymers. The Textile founbations. Washington, 1943.
3. Ж у к о в А. М., Р а б о т н о в Ю. Н., Ч у р и к о в Ф. С. Экспериментальная проверка некоторых теорий ползучести. Инженерный сб., 1953, т. 17.
4. N i s h i h a r a T., T a i r a S., T a n a k a K., O h n a m i M. Creep of low carbon steel under varying temperatures. Proc. Ist Japan Congr. Test. Mater., 1958.
5. T a i r a S., T a n a k a K., O h j i K., H a g u m o t o J. Creep of mild steel under periodic stresses of rectangular wave. Bull. Japan Soc. Mech. Engrs, 1959, vol. 2, No. 8.
6. Н а м е с т н и к о в В. С., X в о с т у н к о в А. А. Ползучесть дуралюмина при постоянных и переменных нагрузках. ПМТФ, 1960, № 4.
7. Б у г а к о в И. И., В а к у л е н к о А. А. О теории ползучести металлов. Изв. АН ССРР, ОТН, Механика и машиностроение, 1963, № 6.
8. J o h n s o n A. E., H e n d e r s o n J., M a t h u r i V. Creep under changing complex stress systems. Engineer. 1958, vol. 206, No. 5350.
9. Н а м е с т н и к о в В. С. Прямое и обратное кручение в условиях ползучести. ПМТФ, 1960, № 1.
10. E n d o K., O m o r o g i S. Creep behavior of a mild steel under varying stresses. Mem. Fac. Engng, Hiroshima Univ., 1961, vol. 1, No. 4.

МЕТОД УПРУГИХ РЕШЕНИЙ В ТЕОРИИ ПЛАСТИЧЕСКОГО ТЕЧЕНИЯ

В. Д. Клюшников (Москва)

Обычно [1] для решения задач о сложном нагружении по теории течения предлагаются пользоваться известным методом шагов. Процесс нагружения разделяется на шаги-этапы, внутри которых дифференциальные соотношения связи заменяются конечно-разностными.

Ниже для решения задач по теории течения [1] при условии, что ни в одной точке тела не происходит разгрузки, предлагается метод, вполне аналогичный методу упругих решений в теории малых упруго-пластических деформаций [2].

Рассмотрим тело из несжимаемого материала, следующего закону

$$2G\epsilon_{ij} = dS_{ij} + dF(T)S_{ij} \quad (dT \geq 0) \quad (1)$$

Здесь и в дальнейшем по повторяющимся индексам проводится суммирование; G — модуль упругого сдвига, S_{ij} — девиатор напряжения, ϵ_{ij} — тензор деформаций, T — интенсивность напряжений

$$T = \sqrt[3]{2} \sqrt{S_{ij}S_{ij}} \quad (2)$$

Функцию $F(T)$ можно определить, например, из опыта на простое растяжение, и, так как она определяется только для положительных T , ее всегда можно представить в виде

$$F(T) = \sum_{\alpha=1} A_{2\alpha}' T^{2\alpha} = \sum_{\alpha=1} A_{2\alpha} (S_{ij}S_{ij})^{\alpha} \quad (3)$$

При простом растяжении получим

$$3Ge_x = \sigma_x + \sum_{\alpha=1} B_{2\alpha+1} \sigma_x^{2\alpha+1}, \quad B_{2\alpha+1} = \frac{2\alpha}{2\alpha+1} \quad A_{2\alpha}' = \frac{4\alpha}{3(2\alpha+1)} A_{2\alpha} \quad (4)$$

Пусть поверхностные F_i и массовые V_i силы изменяются с ростом параметра нагружения λ (который может быть временем) так, что ни в одной точке тела не происходит разгрузки ($dT \geq 0$) и F_i и V_i можно представить в виде

$$F_i = \sum_{k=1} F_i^{(k)} \lambda^k, \quad V_i = \sum_{k=1} V_i^{(k)} \lambda^k \quad (5)$$